

Zeitschrift: Eclogae Geologicae Helvetiae
Herausgeber: Schweizerische Geologische Gesellschaft
Band: 43 (1950)
Heft: 2

Anhang: Tafeln
Autor: [s.n.]

Nutzungsbedingungen

Die ETH-Bibliothek ist die Anbieterin der digitalisierten Zeitschriften auf E-Periodica. Sie besitzt keine Urheberrechte an den Zeitschriften und ist nicht verantwortlich für deren Inhalte. Die Rechte liegen in der Regel bei den Herausgebern beziehungsweise den externen Rechteinhabern. Das Veröffentlichen von Bildern in Print- und Online-Publikationen sowie auf Social Media-Kanälen oder Webseiten ist nur mit vorheriger Genehmigung der Rechteinhaber erlaubt. [Mehr erfahren](#)

Conditions d'utilisation

L'ETH Library est le fournisseur des revues numérisées. Elle ne détient aucun droit d'auteur sur les revues et n'est pas responsable de leur contenu. En règle générale, les droits sont détenus par les éditeurs ou les détenteurs de droits externes. La reproduction d'images dans des publications imprimées ou en ligne ainsi que sur des canaux de médias sociaux ou des sites web n'est autorisée qu'avec l'accord préalable des détenteurs des droits. [En savoir plus](#)

Terms of use

The ETH Library is the provider of the digitised journals. It does not own any copyrights to the journals and is not responsible for their content. The rights usually lie with the publishers or the external rights holders. Publishing images in print and online publications, as well as on social media channels or websites, is only permitted with the prior consent of the rights holders. [Find out more](#)

Download PDF: 25.04.2026

ETH-Bibliothek Zürich, E-Periodica, <https://www.e-periodica.ch>



Abb. 1
Calamites piperi BERT. ;
Bitterwaghtl, Sp. Basel 2. 6.



Abb. 3
Asterophyllites equitiformis SCHUL.,
forma subulicincta JONGMANS ;
Bitterwaghtl, Sp. Basel 23.



Abb. 5
Lepidodermis cf. bristolaris STRENN ;
Bitterwaghtl, Sp. Saaswald 115.



Abb. 7
Psocopteris, Gruppe *spathulosa* SCHUL.,
(*Psocopterites* cyclohexiformis
de P. FREYKASER)
Bitterwaghtl, Sp. Basel 16.



Abb. 2
Calamites piperi BERT. ;
Ton. 62.



Abb. 4
Sphenophylloides major BAUNY ;
Bitterwaghtl, Sp. Basel 2. 7.

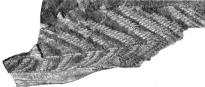


Abb. 9
Psocopteris aborescens SCHUL. ;
Bitterwaghtl, Sp. Basel 1.



Abb. 8
Psocopteris cf. cordillana BERT. mit
länglichen eingeringelten spitzen
Fiedelchen ;
und *P. cf. cyclois* SCHUL. mit
kurzen, stumpfen Fiedelchen ;
Bitterwaghtl, Sp. Saaswald 116.

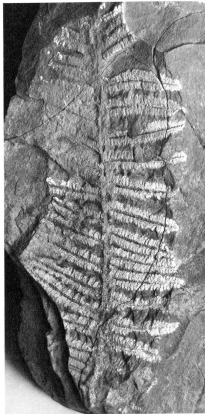


Abb. 6
Psocopteris, Gruppe *spathulosa* SCHUL. (Pion-
patriales cyclohexiformes de P. FREYKASER)
Bitterwaghtl, Sp. Basel 1.



Abb. 10
Psocopteris cf. pinnatifida
BERT. (f. auch *P.*
millini AERTS)
LÖNNQVIST, 1938.



Abb. 11
Psocopteris plackensis SPRENG. ;
LÖNNQVIST, mit Bild auf Taf. 1, F. 13,
S. 10 (LÖNNQVIST).



Abb. 12
Linopteris cf. mansueti BUCHW. ;
Ton. 2. 4.



Abb. 13
Linopteris cf. mansueti BUCHW. ;
Ton. 2. 4.



Abb. 14
Neuropteris cordata HOFFM. ;
Bitterwaghtl, Sp. Basel 1.

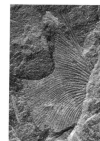


Abb. 15
Cyclopteris sp. ;
Bitterwaghtl, Sp. Basel 1.



Abb. 16
Helopteryx cf. grandis
BERT. ;
Ton. mit Saaswald 116.

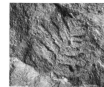


Abb. 17
Sphenopteris sp. ;
Bitterwaghtl, Sp. Basel 11-1.



Abb. 19
Calamites anoloni BERT. ;
Bitterwaghtl, Sp. Saaswald
und Winterthur,
Gösgöghen Brunen, Herden.



Abb. 20
Neuropteris cf. schuchleri HOFFM. ;
Bitterwaghtl, Sp. Saaswald und Winterthur,
Gösgöghen Brunen, Herden,
20a H. : 1.

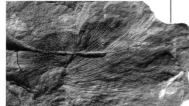


Abb. 21
Cyclopteris cf. pinnatifida BERT. ;
Bitterwaghtl, Sp. Saaswald und Winterthur,
Gösgöghen Brunen, Herden.



Abb. 22



Abb. 18
Cyclopteris cf. pinnatifida BERT.,
Auf dem 40sten Stück 20a Abb. 15 ;
Sp. Basel 23.



Abb. 22
Annularia stellata SCHL.;
Bifertourville; Stg. Jangmann und Winterhalter
Geologisch Buren, Heerlen.



Abb. 23
Linopteris neuropteroides GRÜN.;
Manno; Stg. Jangmann und Winterhalter,
Geologisch Buren, Heerlen,
21a Vergrößerung $\times 3$.



Abb. 24a



Abb. 25a



Abb. 25
cf. *Pecopteridium*, Fragment;
Manno; Stg. Jangmann und Winterhalter,
Geologisch Buren, Heerlen,
25a Vergrößerung $\times 3$.

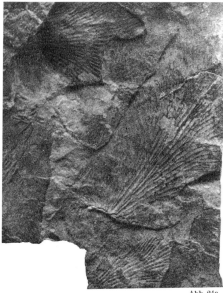


Abb. 26
Linopteris neuropteroides GRÜN.;
Manno; Stg. Jangmann und Winterhalter,
Geologisch Buren, Heerlen,
21a Vergrößerung $\times 3$.

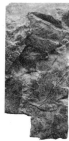


Abb. 28



Abb. 29
Annularia stellata SCHL.;
Tunnel des Mastföotes;
Geologisch Buren, Heerlen, 1911.



Abb. 30
Annularia sphenophylloides
ZENKER;
Tunnel des Mastföotes;
Geologisch Buren, Heerlen,
1915.



Abb. 31
Annularia sphenophylloides
ZENKER;
Tunnel des Mastföotes;
Geologisch Buren, Heerlen, 1916.



Abb. 32
Odontopteris richiana GÜTT.;
Tunnel des Mastföotes;
Geologisch Buren, Heerlen, 1911.



Abb. 33
Odontopteris cf. *minor* BOT.;
Tunnel des Mastföotes;
Geologisch Buren, Heerlen, 1917.

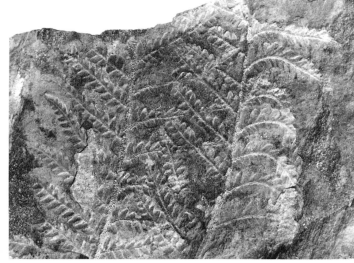


Abb. 34
Pecopteris cf. *mailloti* BOT.;
Carrière de la Fontaine;
Geologisch Buren, Heerlen, 1919.

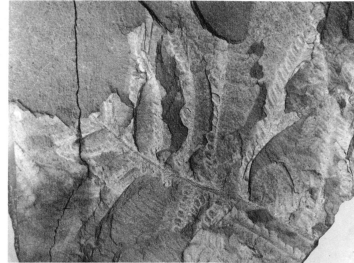


Abb. 35
Pecopteris arborescens-cyathia SCHL.;
Carrière de la Fontaine;
Geologisch Buren, Heerlen, 1912.

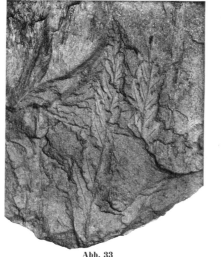


Abb. 36
Sphenopteris cf. *mailloti* ZELLER;
Carrière de la Fontaine;
Geologisch Buren, Heerlen, 1920.



Abb. 37
Pecopteridium cf. *costei* ZELLER;
Tunnel des Mastföotes;
Geologisch Buren, Heerlen, 1918.

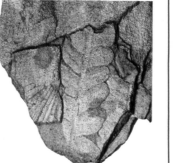


Abb. 38
Neuropteris cf. *ovata* HOFFM.;
Tunnel des Mastföotes;
Geologisch Buren, Heerlen, 1911.

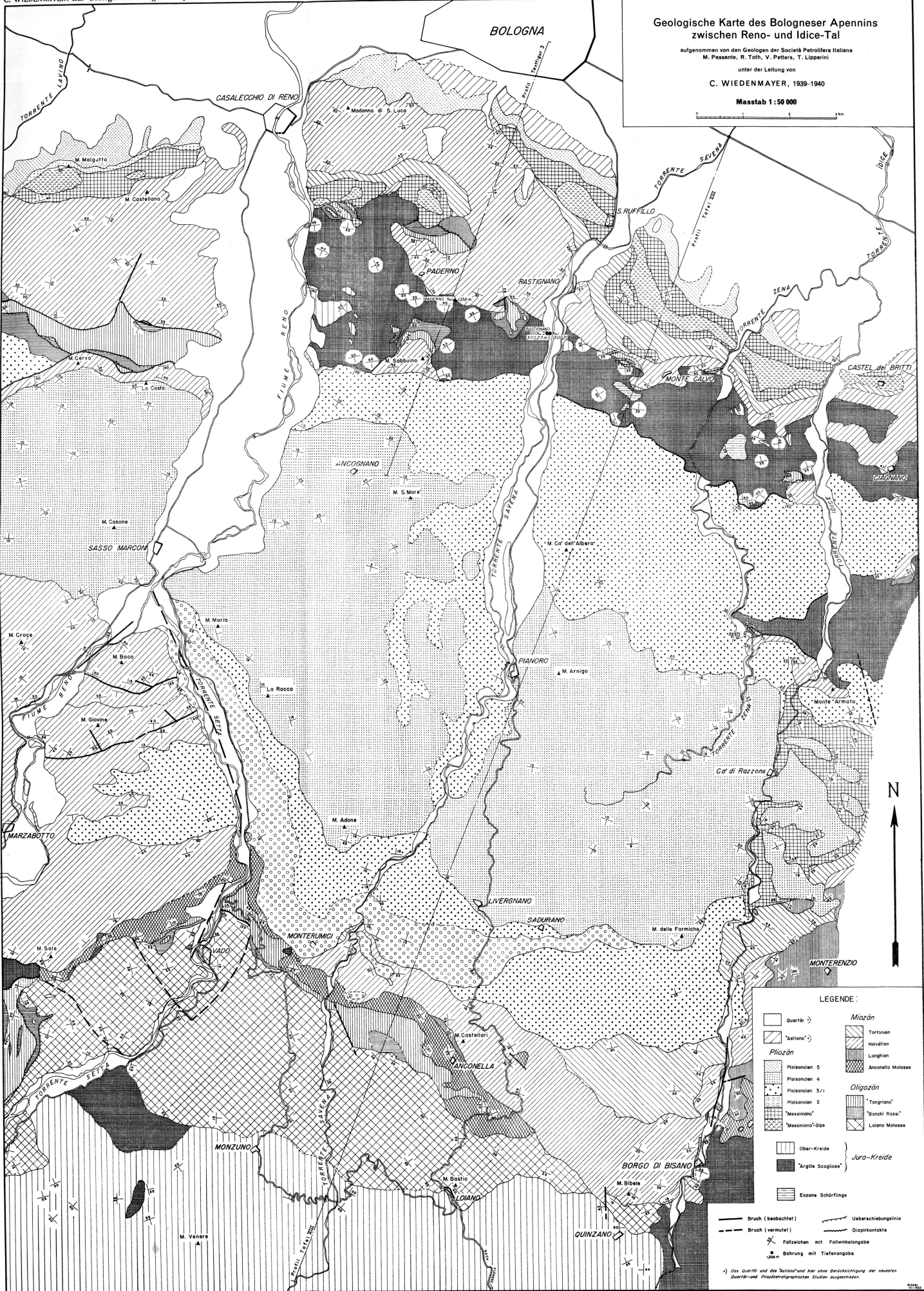
Geologische Karte des Bologneser Apennins zwischen Reno- und Idice-Tal

ausgenommen von den Geologen der Società Petrolifera Italiana
M. Passante, R. Toth, V. Petters, T. Lipparini

unter der Leitung von

C. WIEDENMAYER, 1939-1940

Maßstab 1:50 000

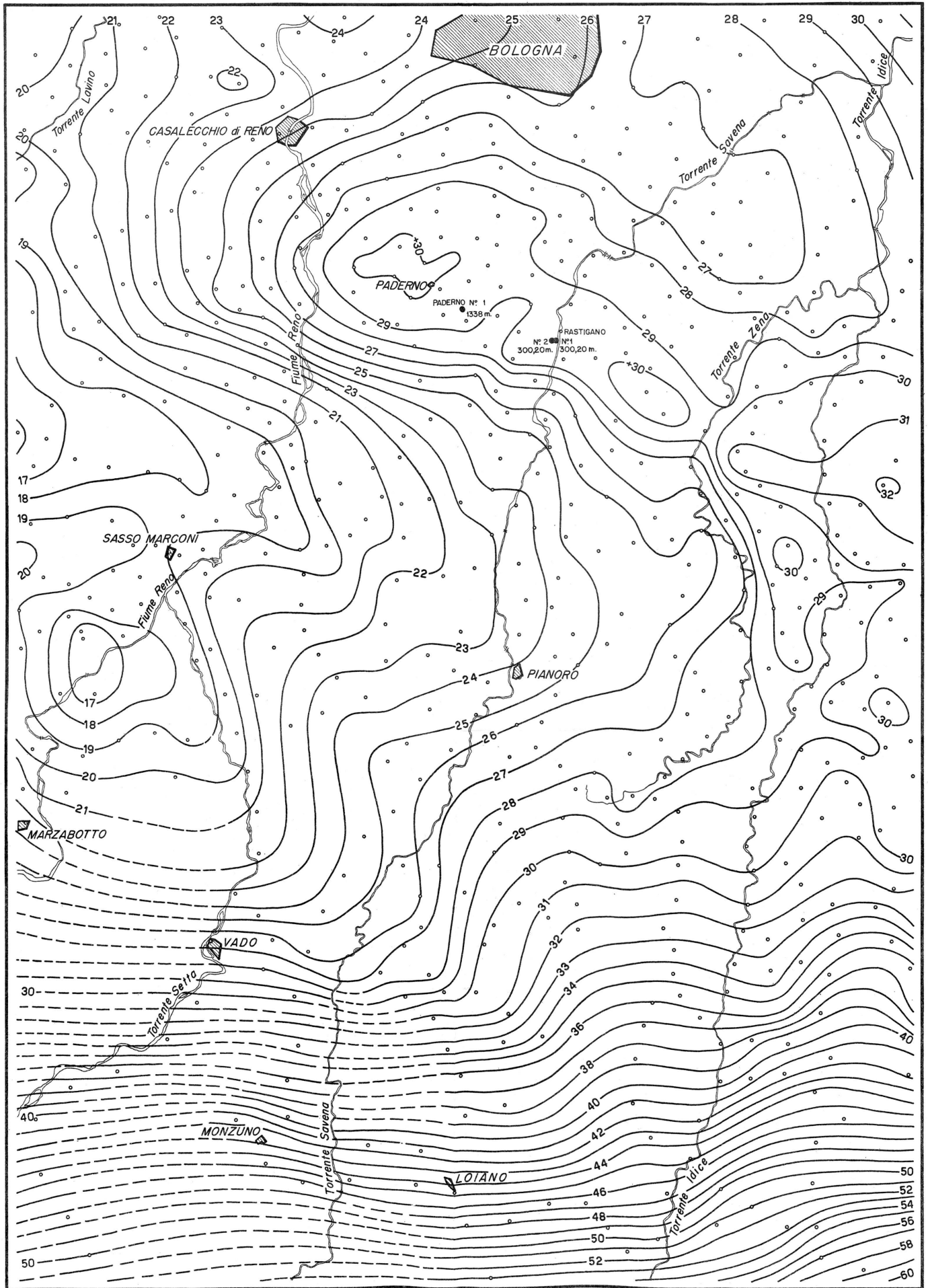


LEGENDE:

- | | |
|---------------------|-------------------|
| Quartär | Miozän |
| "astiano" | Tortonien |
| Pliozän | Savelian |
| Pliozän 5 | Langhian |
| Pliozän 4 | Anconello Molasse |
| Pliozän 3/1 | Oligozän |
| Pliozän 2 | "Tongriano" |
| "messiniano" | "Banchi Rossi" |
| "messiniano"-Gips | Lajolo Molasse |
| Ober-Kreide | Jura-Kreide |
| "Argille Scagliose" | |
| Eozäne Schürflinge | |

- Bruch (beobachtet)
- Bruch (vermutet)
- Falzflächen mit Fallwinkelangabe
- Bohrung mit Tiefenangabe
- Ueberschiebungslinie
- Diapirkontakt

*) Das Quartär und das "astiano" sind hier ohne Berücksichtigung der neuesten Quartär- und Pliozänstratigraphischen Studien ausgedrückt.



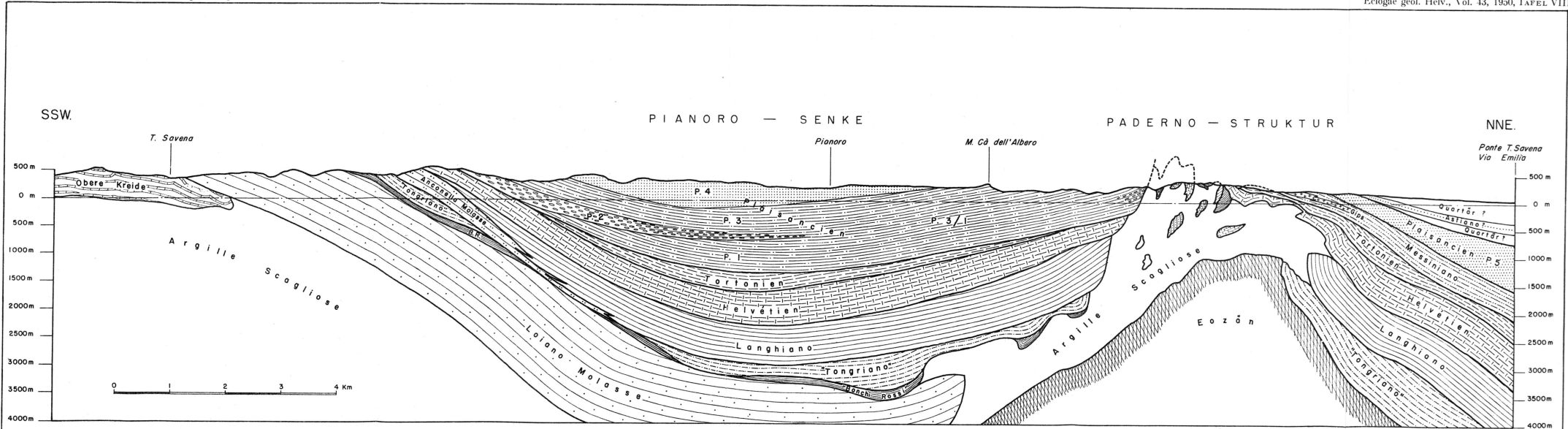
Schwerekarte des Bologneser Apennins

Linien gleicher Bouguer'scher Schwereanomalien mit Werten in Milligal
 Mess-Stationen
 Versuchsbohrung mit Tiefenangabe 300,20m

Masstab 1: 75 000
 0 0,5 1 2 3 4 Km.

Messungen ausgeführt mit Humble-Truman- und Humble-Boucher-Gravimeter

Gravimetrische Werte bezogen auf die Basis-Station der „Società Petrolifera Italiana“ in der Nähe von Parma mit Wert = 0. (Absoluter Wert dieser Station bezogen auf die Pendelstation Padua = -149,4 Milligal.)



Schematisches Profil durch den Bologneser Apennin, 1:50000




Geologische Karte des Dotzigenberges

von HEINZ OERTLI

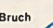




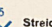



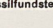
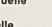
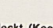
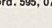
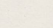
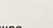

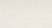

QUARTÄR

-  Künstliche Aufschüttungen
 -  Tiefste Talböden
 -  Quelltuff
 -  Rutschung mit Abrissrand
 -  Bachschuttkegel
 -  Verschwemmter Gehängeschutt
 -  Molasse unter dünner Verwitterungsgedcke
 -  Schotter
 -  Moränenwall mit Kammlinie
 -  Moräne
 -  Schotter in Rinnen
- Würmeiszeit
- Risseiszeit

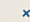
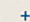
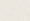
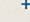
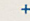
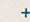
MOLASSE

-  Burdigalien
 -  Unterer Muschelsandstein
 -  Sandsteine und bunte Tone und Mergel
- Ob. Meeresmolasse
- Unt. Süswassermolasse
- Oligocänen
- Miocänen

ZEICHEN

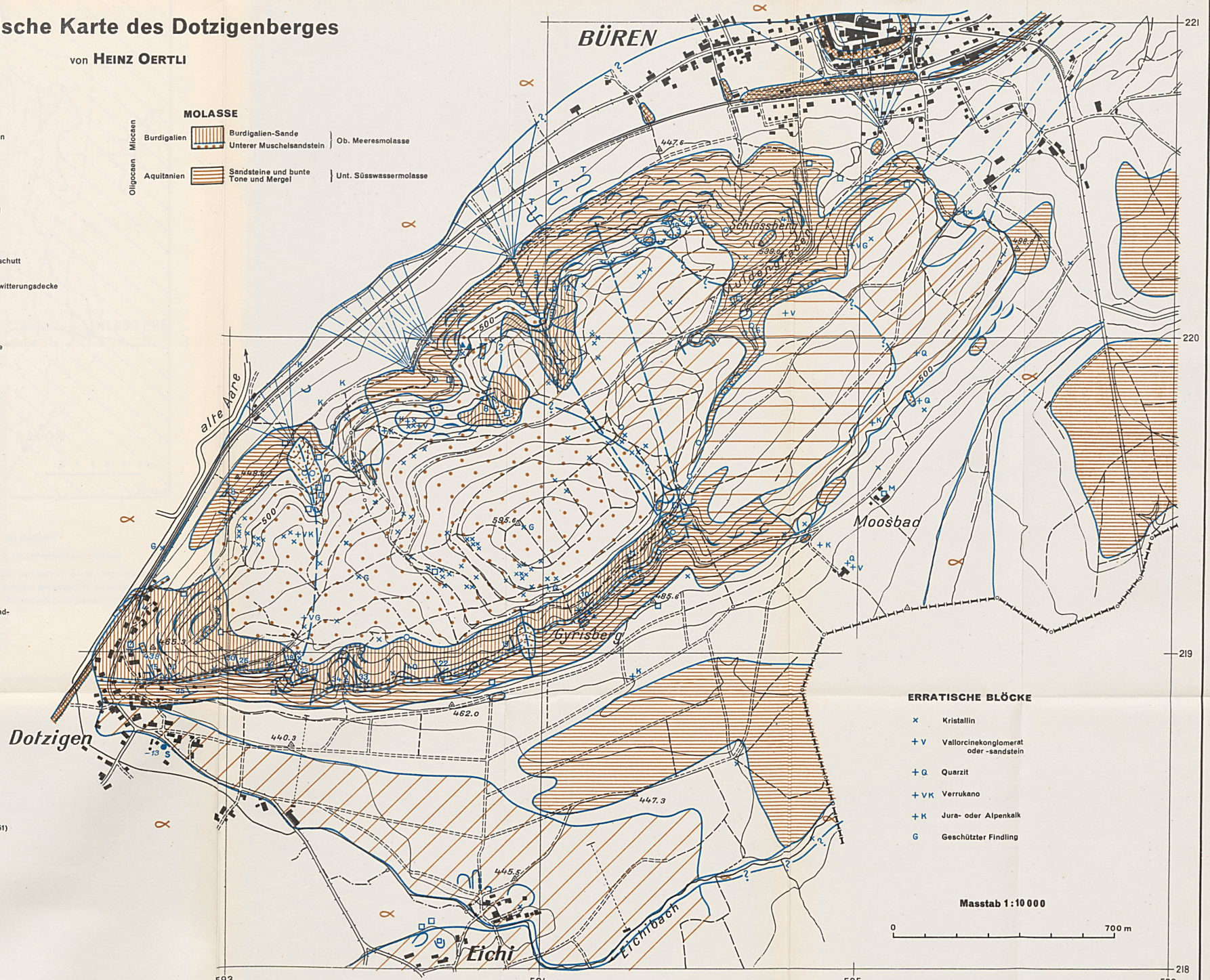
-  Bruch
 -  vermutet
 -  beobachtet
 -  Bohrloch mit Tiefe
 -  Wasserstollen, mit Meereshöhe des Muschelsandsteinaufschlusses (Koord. 592, 67/219, 0)
 -  Streichen und Fallen
 -  Steinbruch
 -  Kiesgrube
 -  Tongrube
 -  Fossilfundstelle
 -  ungefasste Quelle
 -  gefasste Quelle
 -  Schwefelquelle, zugedeckt (Koord. 595, 075/219, 51)
 -  Reservoir
 -  sandige
 -  kiesige
 -  tonige
 -  abgerutschte Muschelsandsteinblöcke
- Ausbildung der betr. Ablagerung

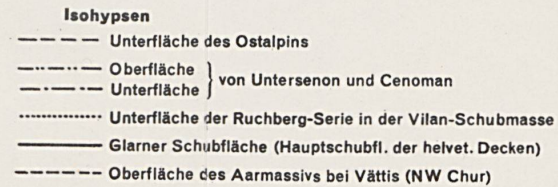
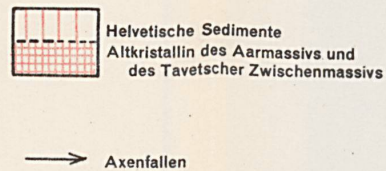
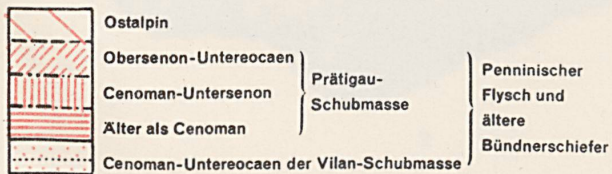
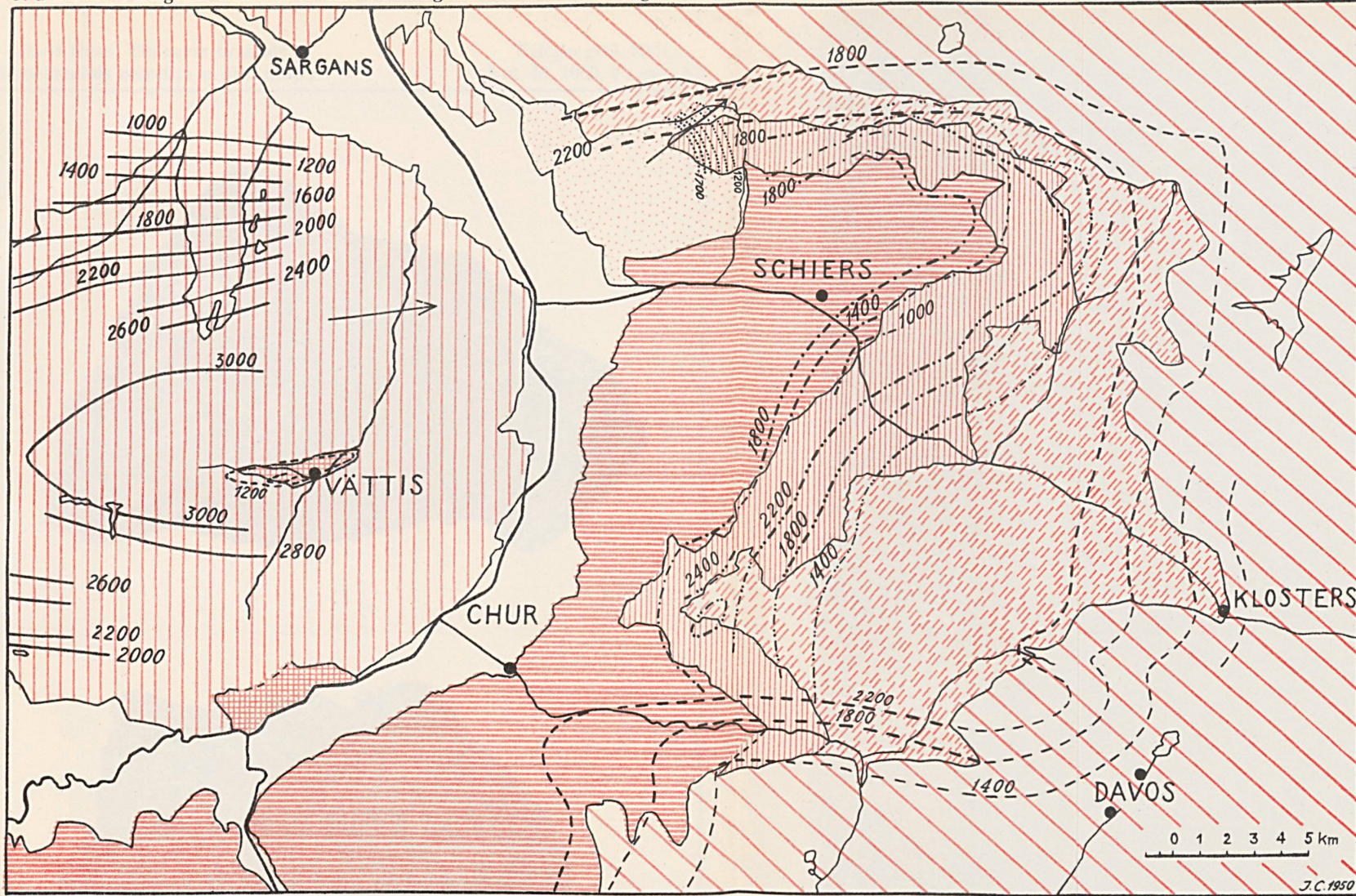
ERRATISCHE BLÖCKE

-  Kristallin
-  Vallorcinekonglomerat oder -sandstein
-  Quarzit
-  Verrukano
-  Jura- oder Alpenkalk
-  Geschützter Findling

Masstab 1:10 000

0 700 m

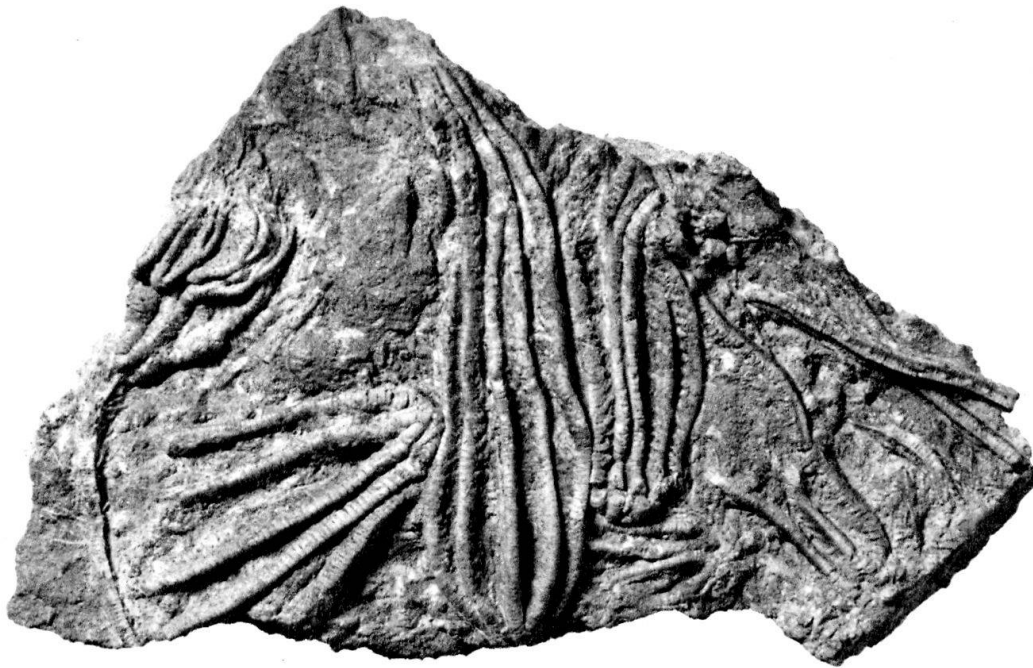




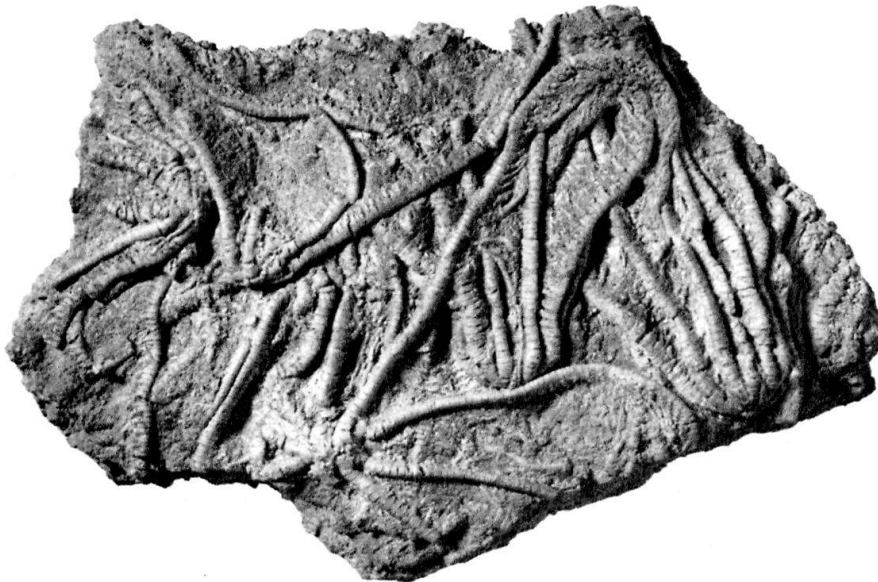
Strukturkarte des Prätigauer Halbfensters, 1:200000,

konstruiert von J. CADISCH 1950

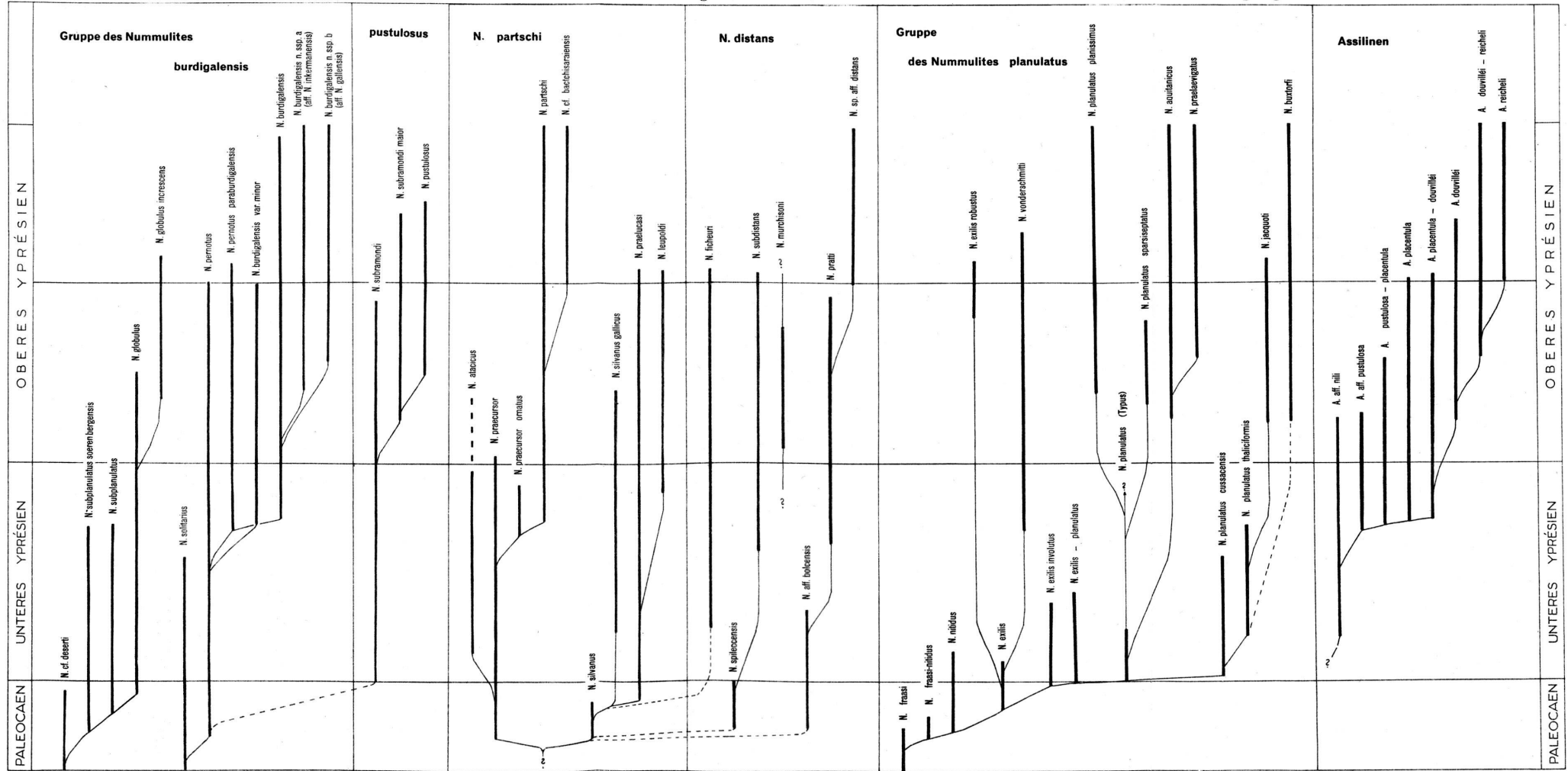
nach Karten von P. Arni, W. Häfner, R. Helbling, P. Näny, J. Oberholzer, A. H. Stahel, D. Trümpy und eigenen Aufnahmen



1



2



Zusammenstellung der paleocaenen und untereocaenen Nummuliten und Assilinen zu Entwicklungsreihen
auf Grund der durch dicke Striche eingezeichneten stratigraphischen Verbreitung im Schlierenflysch